

پیش‌بینی مشخصات پرش هیدرولیکی در حوضچه‌های آرامش واگرای ناگهانی با استفاده از روش الگوریتم تکاملی

حوضچه‌های آرامش واگرای ناگهانی یکی از سازه‌های مستهلك کننده انرژی می‌باشد که بخش زیادی از انرژی سینماتیکی جریان را از طریق پرش هیدرولیکی، مستهلك می‌کند. تخمین دقیق مشخصات پرش هیدرولیکی نقش مهمی در طراحی بهینه سازه‌های هیدرولیکی دارد. در این مقاله، کارایی روش برنامه‌ریزی بیان ژن (GEP) در تخمین مشخصات پرش هیدرولیکی در سه نوع کanal و اگرا (ساده، دارای پله معکوس، دارای بلوك مرکزی) مورد ارزیابی قرار گرفته است. بدین منظور، مدل‌های مختلف، تعریف و مورد بررسی قرار گرفت. نتایج حاصله ضمن تأیید قابلیت روش به کاررفته در تحقیق، برتری این روش را نسبت به روابط کلاسیک در تخمین مشخصات پرش هیدرولیکی به اثبات رساند. همچنین مشخص گردید که مدل با پارامترهای Fr_1 و $(h_2 - h_1)/h_1$ در تخمین طول پرش و مدل با پارامترهای B/h_1 در تخمین نسبت اعماق متنابض و استهلاک انرژی، بیشترین دقت را دارا می‌باشدند. مطابق با نتایج آنالیز حساسیت، پارامتر Fr_1 بیشترین تأثیر را در پیش‌بینی مشخصات پرش هیدرولیکی دارد.

واژگان کلیدی: برنامه‌ریزی بیان ژن، بلوك مرکزی، پله معکوس، پرش هیدرولیکی، حوضچه آرامش واگرا.

کیومرث روشنگر*

دانشیار، دانشکده فنی مهندسی
عمران، دانشگاه تبریز.
پست الکترونیک:
kroshangar@yahoo.com

ريحانه ولیزاده

دانشجوی کارشناسی ارشد
عمران، دانشکده فنی مهندسی
عمران، دانشگاه تبریز.
پست الکترونیک:
reayhneh_valizdh_rvcivil@yahoo.com

رقیه قاسم‌پور

دانشجوی کارشناسی ارشد
عمران، دانشکده فنی مهندسی
عمران، دانشگاه تبریز.
پست الکترونیک:
r.ghasempour93@ms.tabrizu.ac.ir

۱- مقدمه

به مشخصات پرش هیدرولیکی بهخصوص طول و عمق ثانویه پرش هیدرولیکی بستگی دارد. پارامترهایی چون طول پرش، نسبت عمق ثانویه به عمق اولیه و میزان افت انرژی از جمله پارامترهای مهمی هستند که بر اقتصادی کردن سازه حوضچه آرامش تأثیر فراوانی دارند. بر این اساس، حوضچه‌های آرامش با شکل‌ها و مشخصات متفاوت و شرایط حاکم بر جریان آب، ساخته شده و در هر مورد سعی شده تا اقتصادی‌ترین حالت انتخاب شود. بهمنظور عملکرد بهینه حوضچه آرامش، لازم است پرش کاملاً در حوضچه رخ دهد که به عمق آب پایین‌دست بستگی دارد. اگر به هر دلیلی تأمین عمق مورد نیاز برای وقوع پرش هیدرولیکی کلاسیک میسر نباشد و یا هزینه‌های حفاری بهمنظور پایین آوردن کف حوضچه مقرن به صرفه نباشد؛ یکی از راههای حصول اطمینان از

یکی از روش‌های متداول استهلاک انرژی جنبشی جریان در پایین‌دست سازه‌های آبی در حوضچه‌های آرامش، پرش هیدرولیکی می‌باشد. پرش هیدرولیکی، یکی از مهمترین پدیده‌ها در جریان متغیر سریع است که در آن جریان از حالت فوق‌بحراتی به حالت زیربحراتی تبدیل می‌شود. در اثر پدیده پرش هیدرولیکی، عمق جریان در مسیر نسبتاً کوتاهی بهمیزان زیادی افزایش می‌یابد و در نتیجه ضمن ایجاد افت انرژی، از میزان سرعت جریان بهاندازه قابل توجهی کاسته می‌شود. ابعاد حوضچه آرامش

* نویسنده مسئول

تاریخ: دریافت ۱۱/۰۶/۲۰۱۱، بازنگری ۱۳۹۵/۱۲/۲۶، پذیرش ۱۳۹۵/۱۰/۱۸.
DOI: 10.22091/cer.2017.1293.1056 شناسه دیجیتال

برنامه‌ریزی ژنتیک، ماشین بردار پشتیبان، مدل‌های فازی) برای شبیه‌سازی رفتار سیستم‌ها در زمینه مهندسی آب مورد استفاده قرار گرفته‌اند. این روش‌ها الهام گرفته از پدیده‌های موجود در طبیعت بوده و معمولاً دارای جواب بهتری نسبت به روش‌های کلاسیک می‌باشند.

تاکنون روش برنامه‌ریزی بیان ژن^۴ (GEP^۴) جهت تخمین پارامترهای مختلفی مورد استفاده قرار گرفته است که عبارت‌اند از پیش‌بینی بار کل رسوبی توسط روشنگر و همکاران [۵]، پیش‌بینی بارش-رواناب توسط کیسی^۵ و همکاران [۶]، مدل‌سازی افت انرژی در سرریزها توسط روشنگر و همکاران [۷]، پیش‌بینی عمق آبهای زیرزمینی توسط شیری و کیسی [۸] و پیش‌بینی سری‌های زمانی دبی توسط ونگ^۶ و همکاران [۹].

در تحقیق حاضر، سعی گردیده است تا کارایی روش برنامه‌ریزی بیان ژن به عنوان روش فرمدل در تخمین مشخصات پرش هیدرولیکی در کanal‌های واگرای ناگهانی در سه شکل مختلف به صورت ساده، دارای پله معکوس و بلوك مرکزي مورد بررسی قرار گيرد. بنابراین، مدل‌های ورودی متفاوتی براساس دو سری داده آزمایشگاهی تعریف گردید تا تأثیر مدل‌سازی متفاوت در تعیین مشخصات هیدرولیکی تعیین گردد. سپس با استفاده از آنالیز حساسیت، پارامترهای مؤثر در تخمین این مشخصات مورد ارزیابی قرار گرفت.

۲- مواد و روش‌ها

۲-۱- سری داده‌های مورد استفاده در تحقیق

در تحقیق حاضر، از داده‌های آزمایشگاهی برمون^۷ و گاندی^۸ استفاده شده است [۱۰ و ۱۱]. برمون، آزمایش‌هایی را مطابق شکل ۱ در مورد پرش هیدرولیکی

تشکیل پرش در حوضچه، استفاده از واگرایی مقطع می‌باشد. پرش هیدرولیکی در مقاطع واگرا با شرایط جریان ورودی که عبارت‌اند از عمق اولیه پرش، عدد فرود جریان ورودی و پنجه پرش (فاصله عمق اولیه پرش از محل تغییر مقطع) توصیف می‌شود. تاکنون در مورد پرش هیدرولیکی در کanal‌های واگرا مطالعات متعددی صورت پذیرفته و روابط متعددی ارائه شده‌اند. بختیاری، پارامترهای پرش هیدرولیکی در مقاطع واگرا و تأثیر افزایش زاویه واگرایی را بر روی پارامترهای پرش هیدرولیکی مورد بررسی قرار داد [۱]. کلوسیوس و احمد^۹، با فرض تغییرات خطی بین عمق اولیه و ثانویه پرش در مقاطع مستطیلی واگرا، روابطی را برای نسبت عمق ثانویه به عمق اولیه و همچنین افت انرژی نسبی ارائه کردند [۲]. هربراند^{۱۰}، با توجه به فشار هیدرولیکی و پراکندگی یکنواخت سرعت، فرمول مومنتم را پیشنهاد داد. در این فرمول، تأثیر اصطکاک، نادیده گرفته شده و انتهای کanal به صورت افقی فرض شده بود [۳]. گوپتا^{۱۱} و همکاران، نسبت طول و نسبت استهلاک انرژی را در پرش هیدرولیکی آزاد در کanal منشوری افقی مدل‌سازی نمودند و به این نتیجه دست یافتند که با افزایش عدد فرود، مقادیر طول و میزان استهلاک انرژی بیشتر می‌شوند [۴].

کاربرد بسیاری از مدل‌های کلاسیک، محدود به مواردی است که شامل فرضیات و شرایط توسعه و استخراج فرمول‌ها باشند و برای تمامی موارد نمی‌توان از آن‌ها استفاده کرد. از آنجاکه اندازه‌گیری دقیق مشخصات پرش هیدرولیکی، موجب بهینه‌سازی طراحی سازه‌های مستهلك‌کننده انرژی می‌گردد، لذا استفاده از روش‌های هوشمندی که بتوانند این پارامتر را دقیق‌تر تخمین بزنند ضروری به نظر می‌رسد. در دهه‌های اخیر، روش‌های محاسباتی نرم (مانند شبکه‌های عصبی مصنوعی،

⁴- Gene Expression Programming

⁵- Kisi

⁶- Wang

⁷- Bremen

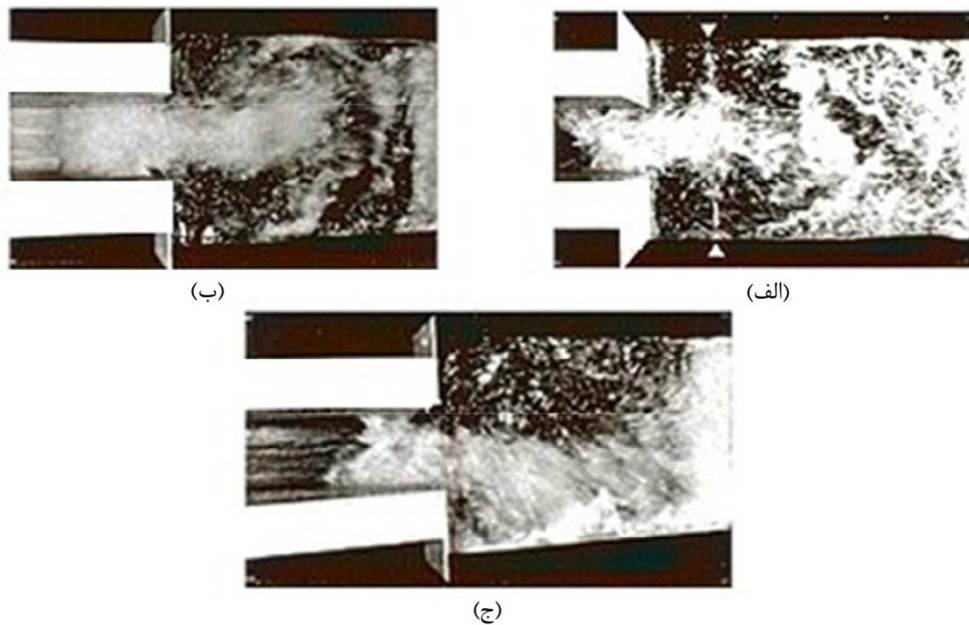
⁸- Gandhi

¹- Koloseus and Ahmad

²- Herbrand

³- Gupta

نیز آزمایش‌هایی را در کanal افقی متقارن به ابعاد $2/1 \times 0/445 \times 1/2$ متر انجام داده و به بررسی مشخصات پرش هیدرولیکی در کanal واگرای صاف پرداخت. در جدول ۱ محدوده‌ی مشخصات هیدرولیکی و هندسی این آزمایش‌ها نشان داده شده است. شکل ۲ نیز بیانگر شماتیک آزمایشات انجام گرفته می‌باشد.



شکل ۱- پرش هیدرولیکی در حوضچه واگرای ناگهانی. (الف) کanal ساده، (ب) کanal با پله معکوس و (ج) کanal با بلوک مرکزی.

بهسبیب وجود آن‌ها بهره ببرد. با وجوداینکه فنوتیپ در GEP، همان نوع از ساختارهای شاخه‌ای مورد استفاده در GP را شامل می‌شود، اما ساختارهای شاخه‌ای که بهوسیله GEP استنتاج می‌شوند (که بیان درختی نیز نامیده می‌شوند)، می‌بین تمامی ژنومهای مستقل هستند. بنابراین موضوع قابل توجه در GEP این است که دومین آستانه تکاملی یعنی آستانه فنوتیپ عبور داده می‌شود و این بدان معنا است که در طول تولید مثل، تنها ژنوم که اندکی اصلاح شده، برای نسل بعد عبور داده می‌شود و در نتیجه نیازی به ساختارهای نسبتاً سنگین برای تکثیر شدن و جهش نیست، بهطوری که تمامی بهسازی‌ها در یک ساختار خطی ساده که بعداً داخل یک بیان درختی بزرگ می‌شود، اتفاق می‌افتد. راه حل اصلی برنامه‌ریزی بیان ژن بهطور شماتیک در شکل ۳ نشان داده شده است.

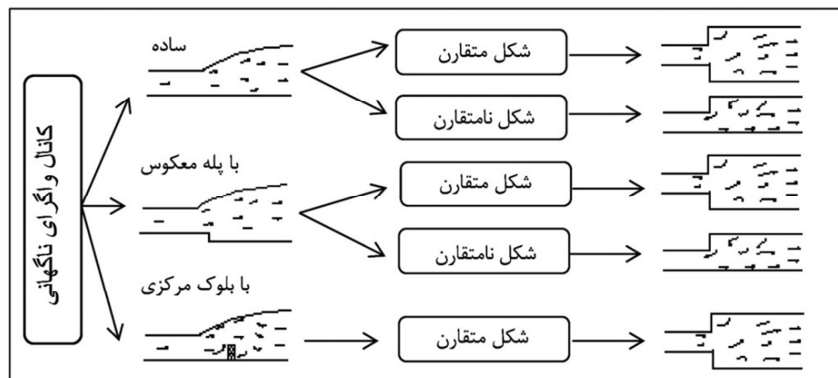
۲-۲- برنامه‌ریزی بیان ژن (GEP)

برنامه‌ریزی بیان ژن، توسط فریرا^۹ در سال ۱۹۹۹ ابداع شد [۱۲]. در این برنامه، کروموزومهای خطی و ساده با طول ثابت، مشابه با آنچه در الگوریتم ژنتیک استفاده می‌شود و ساختارهای شاخه‌ای با اندازه‌ها و اشکال متفاوت، مشابه با درختان تجزیه در برنامه‌ریزی ژنتیک، ترکیب می‌شوند. از آنجاکه تمامی ساختارهای شاخه‌ای با اندازه‌ها و اشکال متفاوت، در کروموزومهای خطی با طول ثابت کدگذاری می‌شوند؛ معادل این است که در GEP، ژنوتیپ و فنوتیپ سرانجام از یکدیگر جدا شده و اکنون سیستم می‌تواند از تمام مزایای تکاملی

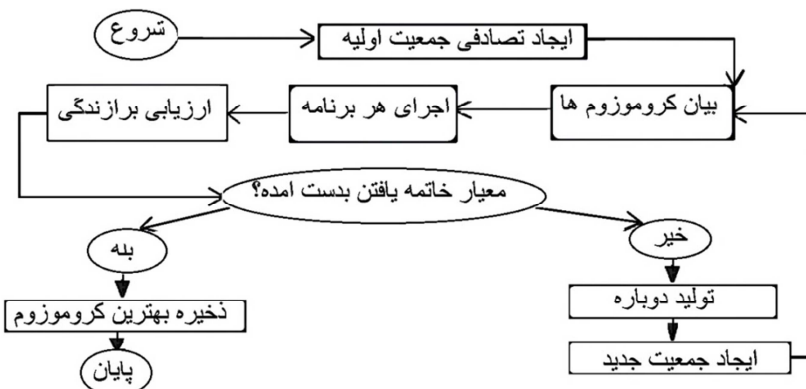
^۹- Ferreria

جدول ۱- محدوده‌ی داده‌های مورد استفاده در آزمایش‌ها.

تعداد داده‌ها	شكل کanal	ارتفاع نسبی پله $N(s/h_1)$		ارتفاع نسبی بلوک S		موقعیت بلوک X_s (cm)	نسبت اعماق متاوب h_2/h_1	دیجیریان Q (l/s)	نسبت ابساط B (b_2/b_1)	عدد فرود Fr_1	سری داده‌ها	حق	شرایط کanal
		تا	از	تا	از								
۱۶۲	نامتقارن	-	-	-	-	-	-	۲/۲-۱۱/۲۶	۲-۱۸/۱	۵	۲/۶۳-۸/۱۲	۱	Bremen (1990)
۱۷۸	متقارن	-	-	-	-	-	-	۲/۱۸-۱۰/۲۸	۵/۱-۲۶/۹	۳	۲/۶۳-۸/۰۵	۲	
۹۱	نامتقارن	-	-	-	-	-	-	۳/۴۶-۱۲/۰۵	۱۰-۴۰	۱/۵	۲/۶۵-۸/۱۳	۳	
۸	متقارن	-	-	-	-	-	-	۲-۸	۶/۴۴-۱۵	۰/۴	۲-۹	۱	
۸	متقارن	-	-	-	-	-	-	۲-۹	۱۲/۳-۱۲/۸	۰/۵	۲-۹	۲	Gandhi (2014)
۸	متقارن	-	-	-	-	-	-	۲-۹/۵	۶/۴۴-۱۰/۶	۰/۶	۲-۹	۳	
۸	متقارن	-	-	-	-	-	-	۲-۱۰	۶/۳-۹/۸	۰/۸	۲-۹	۴	
۱۰۵	نامتقارن	۱/۶۴	۰/۶۱	-	-	-	-	۴/۱۵-۱۲/۵۹	۱۱-۳۹/۵	۱/۵	۳/۲-۸/۴۳	۱	Bremen (1990)
۱۱۲	نامتقارن	۱/۶۱	۰/۵۹	-	-	-	-	۴/۱۵-۱۲/۵۹	۱۱-۳۹/۵	۲	۲/۶۸-۸/۱۲	۲	
۱۲۹	متقارن	۱/۶۶	۰/۴۹	-	-	-	-	۱/۴۵-۱۱/۰۵	۴/۳-۲۴	۳	۲/۰۵-۷/۳۷	۳	
۷۸	متقارن	-	-	۳	۰/۶	۸۰	۲۰	۲/۸۹-۸/۸۱	۳۱-۲۲۵	۳	۳, ۵, ۷, ۹	۱	Bremen (1990)
۷۵	متقارن	-	-	۳	۰/۶	۸۰	۲۰	۳/۰۷-۹/۸۸	۳۱-۲۲۵	۲	۳, ۵, ۷, ۹	۲	
۶۰	متقارن	-	-	۳	۰/۶	۸۰	۲۰	۳/۱۵-۱۰/۶۳	۳۱-۲۲۵	۱/۵	۳, ۵, ۷, ۹	۳	



شکل ۲- شماتیک آزمایشات انجام گرفته.



شکل ۳- شماتیک برنامه‌ریزی بیان زن.

گردیده است. در این روابط، R ، ضریب همبستگی بین مقادیر مشاهداتی و محاسباتی، DC^{10} ، همبستگی خطی بین مقادیر پیش‌بینی شده و واقعی و $RMSE^{11}$. ریشه میانگین مربعات خطاهای می‌باشد. هرچه مقدار R و DC به یک نزدیکتر و مقدار $RMSE$ برای یک مدل، کوچک‌تر باشد به معنی مطلوب بودن آن مدل می‌باشد. در روابط جدول ۳، L_m ، مشخصه پرش هیدرولیکی اندازه‌گیری شده، \bar{L}_m ، متوسط مشخصه پرش هیدرولیکی اندازه‌گیری شده، p_m ، مشخصه پرش هیدرولیکی پیش‌بینی شده، \bar{p}_m ، متوسط مشخصه پرش هیدرولیکی و N تعداد داده‌ها می‌باشد. یک نکته مهم در آموزش شبکه‌های عصبی، نرم‌افزاری داده‌ها قبل از استفاده در مدل می‌باشد. این عمل، خصوصاً وقتی دامنه تغییرات

۳-۲- معادلات نیمه‌تجربی تخمین پارامتر طول پرش هیدرولیکی و نسبت اعمق متناوب

تاکنون روابط نیمه‌تجربی محدودی برای برآورد طول پرش هیدرولیکی و نسبت اعمق متناوب ارائه گردیده که هر کدام با توجه به شرایط خاص جریان، به کار می‌رond. روابط استفاده شده در این تحقیق در جدول ۲ آمده است.

۴-۲- معیارهای ارزیابی

به منظور ارزیابی کارایی روش استفاده شده برای تخمین مشخصات هیدرولیکی در کanal و آگرا (نسبت اعمق متناوب، طول پرش و میزان استهلاک انرژی)، در این مقاله از سه پارامتر آماری مطابق جدول ۳ استفاده

¹⁰- Determination Coefficient

¹¹- Root Mean Summation of Square Error

وروودی‌ها زیاد باشد، کمک شایانی به آموزش بهتر و سریع‌تر مدل می‌کند.

جدول ۲- معادلات نیمه تجربی برای محاسبه طول پرش هیدرولیکی و نسبت اعمق متناوب.

شماره‌ی معادله	ملاحظات	معادله	حق	پارامتر
(۱)	$K_K = 0.8 - \left(0.9 - \frac{1}{B}\right) \times 0.15$	$Y = \frac{0.5}{B} K_K \left[\sqrt{1 + 8BF r_i^2} - 1 \right]$	Kusnetzow	نسبت اعمق متناوب
(۲)	$Y = h_2 / h_1$	$Y = Fr_i \sqrt{\frac{2}{B}} - \frac{1}{2B}$	Herbrand	
(۳)	$Hj = h_2 - h_1$	$Lj = 6Hj$	Smetana	طول پرش هیدرولیکی
(۴)	-	$Lj = 6h_1 Fr_i$	Safranez	
(۵)	-	$Lj = 5Hj$	Bakhmateff and Matezke	
(۶)	$Lj^* = h_1 \times 220 \times th \left(\frac{Fr_i - 1}{22} \right)$	$Lj = \left\{ 1 + \left(1 - \frac{1}{\sqrt{B}} \right) \times [1 - th(1.9X_1)] \right\} Lj^*$	Hager	
(۷)	-	$Lj = 6.02Hj$	Silvester	

جدول ۳- معیارهای ارزیابی مدل.

جزر میانگین مربعات خطاهای	ضریب همبستگی	ضریب تعیین
$RMSE = \sqrt{\sum_{i=1}^N (L_m - L_p)^2 / N}$	$DC = 1 - \frac{\sum_{i=1}^N (L_m - L_p)^2}{\sum_{i=1}^N (L_m - \bar{L}_m)^2}$	$R = \frac{\sum_{i=1}^N (L_m - \bar{L}_m) \times (L_p - \bar{L}_p)}{\sqrt{\sum_{i=1}^N (L_m - \bar{L}_m)^2 \times (L_p - \bar{L}_p)^2}}$

حاصل از تحلیل تأثیر گذارد، لذا سعی گردید در مدل‌سازی GEP، پارامترهای مناسب و مؤثر در تعیین مشخصات هیدرولیکی انتخاب گردد. شکل ۴ شامل جزئیات کanal‌های واگرای بدون مانع و با پله‌ی معکوس و بلوك مرکزی می‌باشد.

مهم‌ترین پارامترهای تأثیرگذار در الگوی پرش در کanal‌های واگرای می‌توانند به صورت رابطه زیر بیان گردد:

$$f(h_1, h_2, V_1, L_j, E_L, \mu, g, \rho, b_1, b_2, s) = 0 \quad (9)$$

که در آن h_1 و h_2 به ترتیب، عمق اولیه و ثانویه پرش، V_1 سرعت جریان قبل از پرش، L_j طول پرش، E_L استهلاک انرژی، μ ویسکوزیته دینامیکی جریان، g شتاب ثقل، b_1 و b_2 عرض کanal قبل و بعد از مقطع انبساط و s ارتفاع پله یا بلوك می‌باشد.

اصولاً وارد کردن داده‌ها به صورت خام، باعث کاهش سرعت و دقت شبکه می‌شود. بنابراین، برای نرم‌افزاری داده‌های تحقیق از رابطه (۸) استفاده شده است:

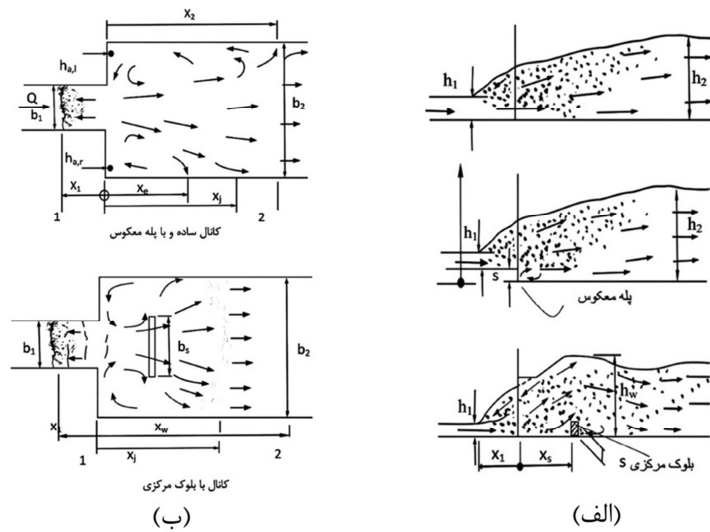
$$x_n = 0.1 + 0.9 \times \left(\frac{x - x_{min}}{x_{max} - x_{min}} \right) \quad (8)$$

در رابطه (۸)، x_{min} و x_{max} به ترتیب حداقل و حد اکثر مقدار داده‌های مشاهده شده و x_n داده نرمال شده می‌باشد.

۳- شبیه‌سازی و نتایج و بحث

۱-۳- تعریف مدل‌های ورودی

با توجه به اینکه انتخاب مدل‌های ورودی در سامانه‌های هوشمند می‌تواند بر روی دقت جواب‌های



شکل ۴- مقطع و اگرای ناگهانی. (الف) نمای جانبی و (ب) نمای پلان.

۲-۳- پارامترهای مدل‌های GEP

روند تعیین مدل‌های تخمین مشخصات پرش

هیدرولیکی با استفاده از روش برنامه‌ریزی بیان ژن شامل پنج مرحله می‌باشد؛ که به ترتیب، شامل تعیینتابع، برآش، انتخاب مجموعه ترمینال‌ها و مجموعه توابع، انتخاب ساختار کروموزوم‌ها که شامل طول سر و تعداد ژن‌ها است، انتخاب تابع پیوند که تعیین‌کننده پیوند بین ریز درخت‌ها می‌باشد و مرحله آخر انتخاب عملگرهای ژنتیکی و نرخ آنها می‌باشد. ترکیبی از عملگرهای ژنتیکی (جهش، وارون‌سازی، ترکیب ترانهش) مطابق جدول ۵ استفاده گردیده است. لازم به ذکر است که در آنالیز مدل‌ها از ۷۵ درصد داده‌ها جهت آموزش و ۲۵ درصد دیگر جهت آزمون مدل‌ها استفاده گردیده است.

۴- نتایج و بحث

۴-۱- نسبت اعمق متنابوب در کanal و اگرا

نتایج آنالیز مدل‌ها در تخمین نسبت اعمق متنابوب در جدول ۶ و شکل ۵ نشان داده شده است. با توجه به نتایج بدست‌آمده از سه معیارهای ارزیابی مدل برای داده‌های آموزش و آزمون، مشاهده می‌شود که بین سه

با استفاده از آنالیز ابعادی و در نظر گرفتن μ ، ρ و g به عنوان پارامترهای تکراری، رابطه (۹) می‌تواند به صورت زیر بیان گردد:

$$f\left(\frac{h_2}{h_1}, \frac{E_L}{E_1}, \frac{L_j}{h_1}, \frac{b_1}{h_1}, \frac{b_2}{h_1}, \frac{v_1^2}{gh_1}, \frac{\rho v_1 h_1}{\mu}, \frac{s}{h_1}\right) = 0 \quad (10)$$

رابطه بالا نیز به صورت رابطه (۱۱) بیان می‌شود:

$$f\left(\frac{h_2}{h_1}, \frac{E_L}{E_1}, \frac{L_j}{h_1}, B, Fr_1, R_n, \frac{s}{h_1}\right) = 0 \quad (11)$$

که در آن Fr_1 عدد فرود جریان، R_n عدد رینولدز و B نسبت انبساط می‌باشد. از طرفی مطالعات صورت گرفته توسط الاتورسکی^{۱۲} و رانگوراجو^{۱۳}، بیانگر آن است که مشخصات پرش هیدرولیکی وابسته به عدد فرود بوده و عدد رینولدز تأثیر چندانی در تعیین این مشخصات ندارد [۱۲ و ۱۳]. همچنین هاگر^{۱۴}، نشان داد که طول پرش وابسته به ارتفاع پرش و عدد فرود می‌باشد [۱۵]. بنابراین در این تحقیق، مدل‌هایی مطابق با جدول ۴ جهت تعیین مشخصات پرش هیدرولیکی در کanal‌های و اگرای ناگهانی در نظر گرفته شد.

¹²- Elevatorski

¹³- Ranga Raju

¹⁴- Hager

وروودی Fr_1 و B/h_1 بیشترین کارایی را دارا می‌باشد. این مدل، برای دو حالت دیگر کanal و اگرا نیز مدل برتر می‌باشد.

کanal، مدل‌های تعریف شده برای حوضچه آرامش با بلوک مرکزی نتایج دقیق‌تری را نسبت به دو کanal دیگر ارائه داده است و در بین مدل‌ها، مدل $S(II)$ با پارامترهای

جدول ۴- مدل‌های تعریف‌شده.

پارامتر خروجی	مدل	پارامترهای وروودی
نسبت اعماق متناوب h_2/h_1	S(I)	Fr_1
	S(II)	$Fr_1, h_1/B$
	S(III)	$Fr_1, S/h_1$
	S(IV)	Fr_1, B
طول پرش هیدرولیکی L_j/h_1	L(I)	Fr_1
	L(II)	$Fr_1, (h_2-h_1)/h_1$
	L(III)	$Fr_1, h_2/h_1$
	L(IV)	$Fr_1, S/h_1$
	L(V)	Fr_1, B
استهلاک انرژی نسبی E_L/E_1	E(I)	Fr_1
	E(II)	$Fr_1, h_1/B$
	E(III)	$Fr_1, S/h_1$

جدول ۵- پارامترهای مدل‌های GEP مورد استفاده.

توصیف پارامتر	تنظیمات پارامتر
Function set	$X^2, X^3, \tan^{-1}, \sin, \cos, e^x, /, *, -, +$
Chromosomes	۳۰
Head size	۷
Number of genes	۳
Linking function	Addition
Fitness function error	Root Mean Square Error (RMSE)
Mutation rate	۰/۰۴۴
Inversion, IS and RIS transposition rate	۰/۱
One and Two-point recombination rate	۰/۳
Gene recombination and transposition rate	۰/۱

در دو حالت متقارن و نامتقارن نشان‌دهنده آن است که روش برنامه‌ریزی بیان ژن در تخمین نسبت اعماق متناوب در کanal نامتقارن نتایج دقیق‌تری را ارائه می‌دهد؛ در حالی که برای کanal بدون مانع، حالت متقارن دقیق‌تر می‌باشد. در شکل ۵، نمودار مقادیر مشاهداتی و پیش‌بینی شده مدل برتر هر حالت برای سری داده‌های تست، نشان

با توجه به نتایج به دست آمده مشاهده می‌گردد که برای حوضچه‌های شامل بلوک مرکزی و پله معکوس اضافه کردن پارامتر S/h_1 به ترکیب مدل‌ها، دقت مدل را تا حدودی افزایش داده است و این امر حاکی از تأثیر ارتفاع بلوک و پله به کاررفته، در تخمین نسبت اعماق متناوب می‌باشد. مقایسه نتایج کanal با پله‌ی معکوس

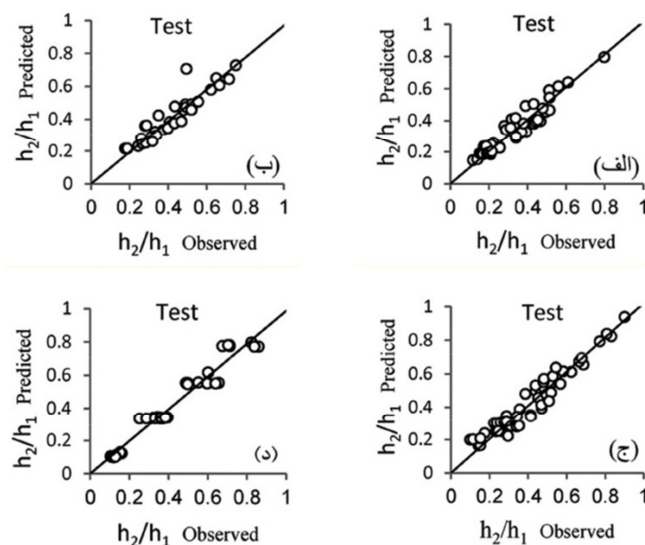
ثانویه به عمق اولیه پرش هیدرولیکی در کanal مستطیلی و اگرا با بلوک مرکزی به صورت رابطه (۱۲) می‌باشد:

$$Y = \sin Fr_l + \tan^{-1} \left(\tan^{-1} \left(\tan^{-1} \left(Fr_l \times \frac{h_l}{B} \right) \right) \right) + \left[(Fr_l^2 - Fr_l)^2 \times \tan^{-1} \left(\frac{h_l}{B} \right) + Fr_l \right] \quad (12)$$

داده شده است. نکته مهم در مورد روش GEP، ارائه فرمول صریح در مورد مسئله مورد بررسی می‌باشد. فرمول به دست آمده از این روش برای پیش‌بینی نسبت عمق

جدول ۶- نتایج مربوط به مدل‌های برتر پیش‌بینی اعماق متناوب توسط GEP.

معیارهای ارزیابی						مدل	شرایط کanal
Test			Train				
RMSE	DC	R	RMSE	DC	R		
۰/۰۶۷	۰/۸۴۴	۰/۹۲۶	۰/۰۵۱	۰/۹۰۱	۰/۹۵	S(I)	متقارن نامتقارن
۰/۰۴۸	۰/۸۸۹	۰/۹۴۷	۰/۰۳۶	۰/۹۴۴	۰/۹۷	S(II)	
۰/۱۲۸	۰/۷۰۶	۰/۸۶۴	۰/۰۷۶	۰/۷۵	۰/۸۷۲	S(I)	
۰/۱۲۱	۰/۷۱۶	۰/۹۱۷	۰/۰۵۳	۰/۸۵۴	۰/۹۳	S(II)	نامتقارن متقارن پله معکوس
۰/۱۰۶	۰/۷۳۸	۰/۸۵۴	۰/۰۹۳	۰/۷۹۳	۰/۸۶	S(I)	
۰/۰۵۸	۰/۸۵۱	۰/۹۲۵	۰/۴۸	۰/۸۹۵	۰/۹۵	S(II)	
۰/۰۹۱	۰/۸۶۱	۰/۹۰۷	۰/۰۸۲	۰/۸۸۹	۰/۹۲	S(III)	نامتقارن متقارن پله معکوس
۰/۰۷۴	۰/۸۸۶	۰/۹۳۲	۰/۰۷۱	۰/۸۹۹	۰/۹۴	S(I)	
۰/۰۵۲	۰/۹۲۴	۰/۹۶۵	۰/۰۴۵	۰/۹۳۹	۰/۹۷	S(II)	
۰/۰۶۹	۰/۸۹۷	۰/۹۴۸	۰/۰۶۳	۰/۹۲	۰/۹۵	S(III)	
۰/۰۷۵	۰/۸۸	۰/۹۳۱	۰/۰۷	۰/۹۰۴	۰/۹۴	S(IV)	متقارن پله معکوس
۰/۰۶	۰/۹۲۲	۰/۹۵۹	۰/۰۵۱	۰/۹۳۷	۰/۹۷	S(I)	
۰/۰۴۹	۰/۹۵۶	۰/۹۷۹	۰/۰۴۳	۰/۹۶۲	۰/۹۸	S(II)	
۰/۰۵۵	۰/۹۳۶	۰/۹۶۶	۰/۰۴۹	۰/۹۴۱	۰/۹۷	S(III)	
۰/۰۶۸	۰/۹۱۴	۰/۹۵۵	۰/۰۶۶	۰/۹۱۵	۰/۹۶	S(IV)	پله پله معکوس



شکل ۵- رابطه خطی بین h_2/h_1 مشاهده شده و پیش‌بینی شده در مرحله آزمون مدل برتر. (الف) بدون مانع متقارن، (ب) با پله معکوس متقارن، (ج) با پله معکوس نامتقارن و (د) با بلوک مرکزی.

می‌شود که روش GEP در تخمین طول پرش در کanal با پلهی معکوس نامتقارن نسبت به متقارن، موفق‌تر می‌باشد. با توجه به جدول ۷ می‌توان نتیجه گرفت که افزودن نسبت انبساط کanal، (B)، به عنوان پارامتر ورودی جهت تخمین طول پرش در هر دو حالت پلهی معکوس و بلوک مرکزی، باعث می‌شود که مدل، طول پرش را با دقت کمتر و خطای بالاتری پیش‌بینی کند. شکل ۶ رابطه خطی بین L_j/h_1 حالت مشاهده و پیش‌بینی شده‌ی مدل برتر نسبت طول پرش به عمق اولیه را نشان می‌دهد. فرمول به دست آمده از GEP برای پرش هیدرولیکی در کanal مستطیلی واگرای بلوک مرکزی براساس رابطه (۱۳) می‌باشد:

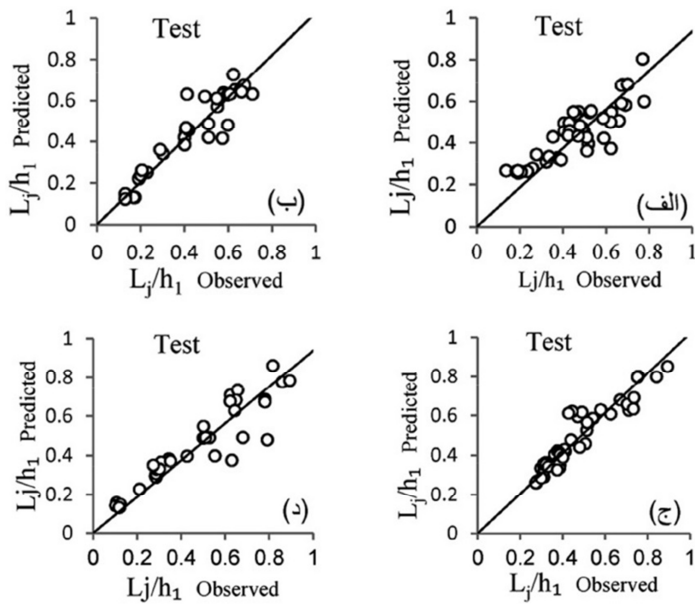
$$\frac{L_j}{h_1} = \frac{Fr_1 \times \cos(e^{(3.78 - Fr_1)})}{7.33} + \frac{h_2 - h_1}{h_1} + \frac{\cos(8 \times Fr_1^3)}{14.98} \quad (13)$$

۲-۴- طول پرش هیدرولیکی در کanal واگرای

پارامترهای ارزیابی برای مدل‌های تعریف شده جهت تخمین طول پرش هیدرولیکی، در جدول ۷ قابل مشاهده است. بررسی نتایج حاصل در هر سه کanal، نشان دهنده این مطلب است که مدل L(II) در کanal واگرای با بلوک مرکزی، بهترین نتایج را دارد. پارامترهای ورودی این مدل شامل Fr_1 و $(h_2 - h_1)/h_1$ می‌باشد. برای حالت کanal متقارن با پله معکوس، مدل L(IV) با پارامترهای ورودی Fr_1 و S/h_1 دقیق‌تر می‌باشد. در حالت کلی با مقایسه نتایج ارائه شده مشاهده می‌شود که با افزودن پارامترهای S/h_1 و h_2/h_1 به ترکیب مدل‌ها کارایی مدل، تا حدودی بهبود یافته است. همچنین مشاهده

جدول ۷- نتایج مربوط به مدل‌های برتر پیش‌بینی طول پرش توسط GEP.

معیارهای ارزیابی						مدل	شرایط کanal		
Test			Train				متقارن	نامتقارن	
RMSE	DC	R	RMSE	DC	R				
۰/۱۰۸	۰/۶۱۹	۰/۷۸۶	۰/۰۸	۰/۷۵	۰/۸۴۹	L(I)	متقارن	نامتقارن	
۰/۰۸۸	۰/۷۱۹	۰/۸۵۵	۰/۰۶۹	۰/۸۱۳	۰/۹۰۲	L(II)			
۰/۱۱۲	۰/۶۱۴	۰/۷۹	۰/۰۷۷	۰/۷۶۹	۰/۸۷۵	L(III)			
۰/۱۰۸	۰/۷۴۷	۰/۸۶۵	۰/۱۰۳	۰/۷۶۲	۰/۸۸	L(I)			
۰/۰۹۴	۰/۷۶	۰/۸۹	۰/۰۸۹	۰/۸۱۳	۰/۹۱۱	L(II)			
۰/۰۹۵	۰/۷۵۶	۰/۸۸۷	۰/۰۹۲	۰/۸۱۱	۰/۹۰۹	L(III)			
۰/۰۸۷	۰/۷۶۵	۰/۹۱۳	۰/۷۲	۰/۸۴۸	۰/۹۲۱	L(IV)			
۰/۰۹۴	۰/۸۱۳	۰/۸۹۷	۰/۰۸۷	۰/۸۱۵	۰/۹۱۳	L(I)			
۰/۰۶۹	۰/۸۱۷	۰/۹۰۶	۰/۰۶۷	۰/۸۲۵	۰/۹۲۳	L(II)			
۰/۱۰۵	۰/۷۶۲	۰/۸۶۸	۰/۱۰۱	۰/۷۶۵	۰/۸۹۶	L(III)			
۰/۱۰۱	۰/۷۹۱	۰/۸۷۶	۰/۰۹۵	۰/۸۰۹	۰/۹۰۶	L(IV)			
۰/۱۱۱	۰/۷۲۵	۰/۸۲۲	۰/۱۰۷	۰/۷۲۷	۰/۸۶۵	L(V)			
۰/۱۱۵	۰/۷۶۳	۰/۸۸	۰/۰۹۶	۰/۷۹۱	۰/۸۹	L(I)	متقارن	نامتقارن	
۰/۰۶۱	۰/۸۵۵	۰/۹۱۲	۰/۰۵۴	۰/۸۲۸	۰/۹۴۳	L(II)			
۰/۰۹۷	۰/۷۹۸	۰/۸۸	۰/۰۹۲	۰/۸۱	۰/۸۹۹	L(III)			
۰/۰۹۸	۰/۷۹۴	۰/۸۷۹	۰/۹۰۴	۰/۸۰۸	۰/۸۹۷	L(IV)			
۰/۱۰۹	۰/۷۴۶	۰/۸۷	۰/۱۰۴	۰/۷۵۵	۰/۸۷۸	L(V)			



شکل ۶- رابطه خطی بین L_j/h_1 مشاهده شده و پیش‌بینی شده در مرحله آزمون مدل برتر. (الف) بدون مانع متقارن، (ب) با پلهی معکوس متقارن، (ج) با پلهی معکوس نامتقارن و (د) با بلوک مرکزی

با دقت بیشتر و خطای کمتری پیش‌بینی کند. در روش GEP بدون نیاز و دسترسی به داده‌های پایین دست که لازمه‌ی محاسبه‌ی استهلاک انرژی است، می‌توان میزان استهلاک را فقط با استفاده از داده‌های بالادست محاسبه کرد و این مزیتی برای روش GEP نسبت به مدل‌های کلاسیک می‌باشد. شکل ۷ رابطه خطی بین $\Delta E/E_1$ انترژی نسبی را نشان می‌دهد. فرمول به دست آمده از GEP برای تخمین استهلاک انرژی نسبی پرش هیدرولیکی در کanal مستطیلی واگرا با بلوک مرکزی به صورت رابطه (۱۴) می‌باشد:

$$\frac{\Delta E}{E_1} = \left(-\tan^{-1}\left(\frac{h_1}{B}\right) \right)^9 + Fr_1^2 \times \left[\cos\left(Fr_1^2 - 5.54\right) \right]^3 + \sqrt{\tan^{-1} \left[\sin \sqrt{2Fr_1} \right] \times Fr_1} \quad (14)$$

گرفت. برای این منظور با حذف تک‌تک پارامترهای مدل برتر و اجرای دوباره مدل و تعیین معیارهای ارزیابی میزان تأثیر پارامتر حذف شده در کاهش دقت مدل، مورد بررسی

۳-۴- استهلاک انرژی نسبی در کanal واگرا

با بررسی عملکرد معیارهای ارزیابی برای داده‌های آموزش و آزمون، مطابق با جدول ۸ مشاهده می‌شود که مدل E(II) با پارامترهای ورودی Fr_1 و h_1/B جهت تخمین استهلاک انرژی نسبی در تمامی حالات، منجر به نتایج دقیق‌تری گردیده است. همچنین با بررسی دقیق‌تر، مشاهده می‌شود که در کanal با پله معکوس و بلوک مرکزی، استفاده از پارامتر نسبت ارتفاع پله یا بلوک به عمق اولیه جریان، S/h_1 ، به عنوان پارامتر ورودی گرچه به مقدار کم ولی باعث بهبود نتایج گردیده است و نیز جایگزین کردن پارامتر h_1/B به همراه Fr_1 باعث می‌شود که مدل، مشخصه‌ی هیدرولیکی استهلاک انرژی نسبی را

۴- آنالیز حساسیت

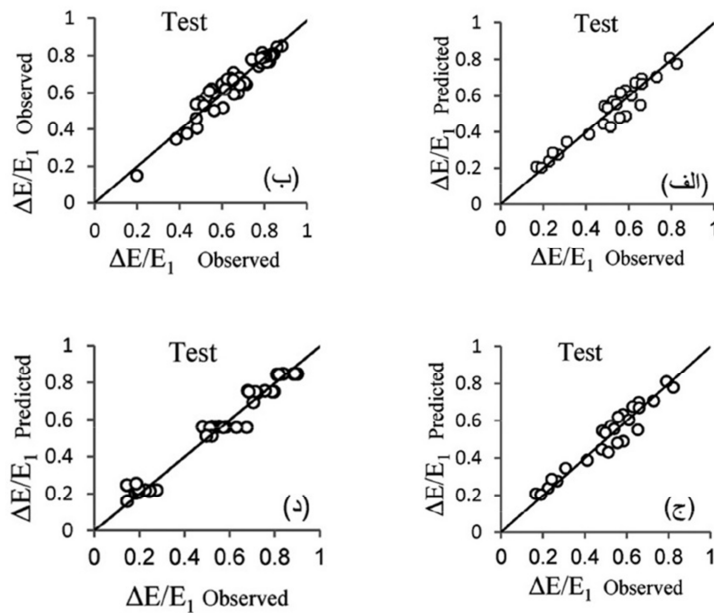
جهت بررسی تأثیر پارامترهای به کاررفته در مدل برتر هر مشخصه پرش هیدرولیکی، آنالیز حساسیت انجام

جدول ۹ ارائه شده است.

قرار گرفت. نتایج حاصل از آنالیز حساسیت به صورت

جدول ۸- نتایج مربوط به مدل‌های برتر پیش‌بینی استهلاک انرژی توسط GEP

معیارهای ارزیابی						مدل	شرایط کanal
Test			Train				
RMSE	DC	R	RMSE	DC	R		
۰/۰۵۸	۰/۸۶۴	۰/۹۱۳	۰/۰۵۵	۰/۸۷	۰/۹۲۲	E(I)	متقارن
۰/۰۴۶	۰/۹۰۱	۰/۹۵۳	۰/۰۳۷	۰/۹۴۲	۰/۹۷۱	E(II)	
۰/۱۰۹	۰/۷۱۲	۰/۸۵۴	۰/۰۷۵	۰/۷۲	۰/۸۶	E(I)	نامتقارن
۰/۰۹۲	۰/۷۸۲	۰/۸۸۶	۰/۰۵۷	۰/۸۳۷	۰/۹۲۱	E(II)	
۰/۱۱	۰/۷۰۱	۰/۷۲۲	۰/۱۰۵	۰/۷۳۳	۰/۸۵	E(I)	متقارن
۰/۰۶۴	۰/۸۱۶	۰/۹۰۷	۰/۰۴۵	۰/۹۰۹	۰/۹۵۳	E(II)	
۰/۰۹۱	۰/۷۱۴	۰/۷۶۶	۰/۰۸۱	۰/۷۷۵	۰/۸۷۱	E(III)	نامتقارن
۰/۰۹۵	۰/۷۰۹	۰/۷۲۱	۰/۰۹	۰/۷۴۲	۰/۸۶۶	E(I)	
۰/۰۸۸	۰/۷۲۱	۰/۸۴۴	۰/۰۷۷	۰/۷۷۸	۰/۸۷۵	E(II)	نامتقارن
۰/۰۵۵	۰/۹۰۸	۰/۹۵۶	۰/۰۴	۰/۹۵۲	۰/۹۷۶	E(III)	
۰/۰۵۹	۰/۹۴۶	۰/۹۶۳	۰/۰۵۵	۰/۹۵	۰/۹۶۸	E(I)	متقارن
۰/۰۴۵	۰/۹۶۵	۰/۹۸۲	۰/۰۴۲	۰/۹۶۵	۰/۹۸۲	E(II)	
۰/۰۶۲	۰/۹۵	۰/۹۶۹	۰/۰۵۱	۰/۹۵۵	۰/۹۷۱	E(III)	بلوک مرکزی



شکل ۷- رابطه خطی بین $\Delta E/E_1$ مشاهده شده و پیش‌بینی شده در مرحله آزمون مدل برتر، (الف) بدون مانع متقارن، (ب) با پلهی معکوس متقارن، (ج) با پلهی نامتقارن و (د) با بلوک مرکزی.

فروض تأثیرگذارترین پارامتر در تخمین هر سه مشخصه پرش هیدرولیکی می‌باشد.

براساس نتایج جدول ۹، مشخص است که با حذف پارامتر Fr_1 خطای حاصل از اجرای مدل به مقدار زیادی افزایش یافته است. بنابراین می‌توان نتیجه گرفت که عدد

جدول ۹- نتایج حاصل از آنالیز حساسیت.

معیارهای ارزیابی						پارامتر حذف شده	مدل برتر <i>GEP</i>
<i>Test</i>			<i>Train</i>				
<i>RMSE</i>	<i>DC</i>	<i>R</i>	<i>RMSE</i>	<i>DC</i>	<i>R</i>		
نسبت اعمق متناوب						Fr_I	<i>S(II)</i>
۰/۲۳۲	۰/۲۱۴	۰/۳۰۹	۰/۲۰۹	۰/۲۳۲	۰/۳۵۱		
۰/۰۷۴	۰/۹۲۱	۰/۹۴۵	۰/۰۵۹	۰/۹۳۷	۰/۹۶۵	h_I/B	
طول پرش هیدرولیکی						Fr_I	<i>L(III)</i>
۰/۱۵	۰/۶۳۴	۰/۸۰۴	۰/۱۲۳	۰/۶۷	۰/۸۱۱		
۰/۱۱۳	۰/۷۶۷	۰/۸۸۵	۰/۰۸۹	۰/۸	۰/۹۰۵	h_2/h_I	
استهلاک انرژی نسبی						Fr_I	<i>E(II)</i>
۰/۲۵۳	۰/۲۱۹	۰/۳۶۷	۰/۲۱۴	۰/۲۷۲	۰/۳۷۴		
۰/۰۷۸	۰/۹۱۳	۰/۹۴۶	۰/۰۶۵	۰/۹۳۲	۰/۹۶۱	h_I/B	

می باشد. نتایج حاصله بیانگر آن است که با اضافه کردن پارامترهای h_2/h_I و h_I/B به مدل ها دقت آن ها تا حدودی بهبود یافته است. با این حال، مشاهده می گردد که مدل های *GEP* برای داده های ترکیب شده نسبت به حالتی که سری داده ها به صورت جداگانه مورد ارزیابی قرار گرفته اند، نتایج مطلوبی را ارائه نمی دهند.

۵- داده های ترکیب شده

با ترکیب کل داده های موجود، عملکرد روش برنامه ریزی بیان ژن برای محدوده های وسیعی از داده ها مورد ارزیابی قرار گرفت. جهت بررسی این حالت از دو مدل به صورت مدل برتر هر مشخصه پرش هیدرولیکی و مدل تنها با پارامتر ورودی عدد فرود استفاده گردید.

جدول ۱۰ و شکل ۸ شامل نتایج داده های ترکیب شده

جدول ۱۰- نتایج مربوط به مدل های *GEP* برای ترکیب داده ها.

معیارهای ارزیابی						پارامترهای ورودی	پارامتر خروجی
<i>Test</i>			<i>Train</i>				
<i>RMSE</i>	<i>DC</i>	<i>R</i>	<i>RMSE</i>	<i>DC</i>	<i>R</i>		
نسبت اعمق متناوب						Fr_I	h_2/h_I
۰/۰۹۸۷	۰/۵۸	۰/۷۷۴	۰/۰۹۲۴	۰/۶۸	۰/۸۲۸		
۰/۰۸۸	۰/۶۶	۰/۸۱۶	۰/۰۷۹	۰/۷۶	۰/۸۷۳	$Fr_I, h_I/B$	
طول پرش هیدرولیکی						Fr_I	Lj/h_I
۰/۱۷۲	۰/۲۵۱	۰/۴۰۱	۰/۱۵۸	۰/۲۷۲	۰/۴۳۵		
۰/۱۳۲	۰/۲۷۲	۰/۵۵۴	۰/۱۱۳	۰/۳۰۶	۰/۵۶۴	$Fr_I, h_2/h_I$	
استهلاک انرژی نسبی						Fr_I	E_L/E_I
۰/۱۹۶	۰/۴۱۹	۰/۶۶۷	۰/۱۸۸	۰/۵۷۲	۰/۷۴		
۰/۱۱۸	۰/۶۴۷	۰/۸۸۱۶	۰/۱۰۱	۰/۷۸۱	۰/۸۸۵	$Fr_I, h_I/B$	

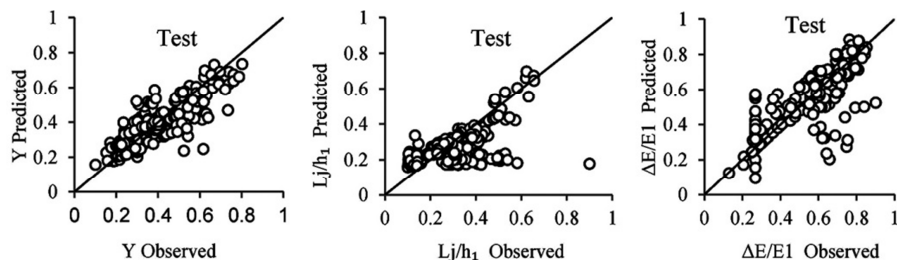
اعماق متناوب و طول پرش هیدرولیکی در کانال واگرا با بلوک مرکزی، از داده های آزمون استفاده شده و نتایج حاصل با هم مقایسه گردیده اند. نتایج این مقایسه در

۶- مقایسه نتایج روش *GEP* با روابط نیمه تجربی

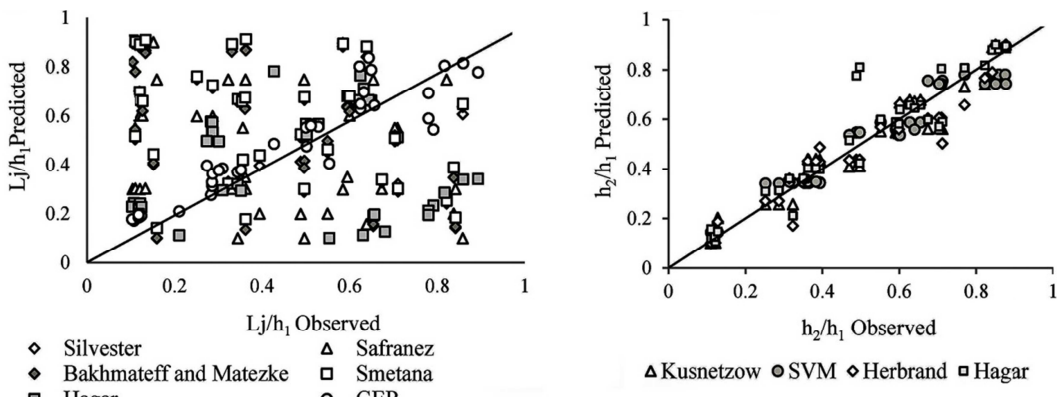
برای ارزیابی عملکرد روش برنامه ریزی بیان ژن نسبت به برخی روابط نیمه تجربی موجود برای تخمین

روابط نیمه تجربی در تخمین اعمق متنابوب و طول پرش هیدرولیکی در کanal واگرا ارائه داده است.

شکل ۹ آورده شده است. با توجه به نتایج به دست آمده، مشاهده می‌شود که روش GEP نتایج بهتری را نسبت به



شکل ۸- رابطه خطی مشخصات پرش هیدرولیکی بین مقادیر مشاهداتی و پیش‌بینی شده برای ترکیب داده‌ها.



شکل ۹- مقایسه نتایج روش GEP با روابط نیمه تجربی در تخمین طول پرش و نسبت اعمق متنابوب.

پیش‌بینی طول پرش هیدرولیکی نسبت به سایر مدل‌ها دقیق‌تر می‌باشدند. مقایسه‌ی نتایج کanal با پله‌ی معکوس در دو حالت متقارن و نامتقارن نشان داد که روش برنامه‌ریزی بیان ژن در تخمین نسبت اعمق متنابوب، طول پرش و استهلاک انرژی در کanal نامتقارن نتایج دقیق‌تری را ارائه می‌دهد؛ درحالی‌که برای کanal بدون مانع، حالت متقارن دقیق‌تر می‌باشد. با آنالیز ترکیب کل داده‌ها و مقایسه آن با حالتی که داده‌ها برای هر مشخصه هیدرولیکی به طور جداگانه آنالیز گردیدند، مشخص گردید که استفاده از داده‌ها به صورت جداگانه منجر به جواب‌های دقیق‌تری خواهد شد. همچنین نشان داده شد که ارتفاع نسبی بلوک و پله معکوس در بهبود کارایی مدل‌ها تأثیرگذار می‌باشدند. براساس نتایج آنالیز حساسیت، مشخص گردید که عدد فرود تأثیرگذارترین پارامتر در تخمین هر سه مشخصه پرش هیدرولیکی می‌باشد.

۵- نتیجه گیری کلی

در این تحقیق، برای تخمین مشخصات هیدرولیکی در سه نوع کanal واگرا، از روش برنامه‌ریزی بیان ژن استفاده شد و تأثیر پارامترهای هیدرولیکی و هندسی مورد ارزیابی قرار گرفت. مقایسه روابط نیمه تجربی و کلاسیک با نتایج حاصل از روش به کاررفته در تحقیق نشان داد که نتایج روش هوشمند GEP نسبت به روابط کلاسیک دقیق‌تر و قبل اعتمادتر می‌باشد. همچنین ملاحظه گردید که مدل‌های تعریف شده برای کanal واگرا با بلوک مرکزی در تخمین مشخصات پرش هیدرولیکی نسبت به حالات دیگر (کanal بدون مانع و شامل پله‌ی معکوس) نتایج دقیق‌تری را ارائه می‌دهند. با توجه به نتایج حاصله مشاهده گردید که مدل با پارامترهای ورودی h_1/B و Fr_1 در تعیین نسبت اعمق متنابوب و استهلاک انرژی نسبی و مدل با پارامترهای ورودی Fr_1 و در

مراجع

- [۱] بختیاری، م. (۱۳۸۷). "بررسی هیدرولیکی پارامترهای جهش هیدرولیکی در مقاطع واگرا (تبديل‌های خروجی)". پایان‌نامه کارشناسی ارشد، دانشکده مهندسی علوم آب، دانشگاه شهید چمران اهواز.
- [۲] Koloseus, H.J., & Ahmad, D. (1969), "Circular hydraulic jump", *Journal of the Hydraulics Division*,
- [۳] Herbrand, K. (1970). Der räumliche Wechselsprung, Literaturstudie Bericht Nr. 18 der Versuchsanstalt für Wasserbau der Technischen Universität München, Oskar.
- [۴] Gupta, S.K., Mehta R.C., & Dwivedi, V.K. (2013), "Modeling of relative length and relative energy loss of free hydraulic jump in horizontal prismatic channel", *Procedia Engineering*, 51, 529-537.
- [۵] Roushangar, K., Vojoudi, F., & Shiri, J. (2014b), "Modeling river total bed material load discharge using artificial intelligence approaches (based on conceptual inputs)", *Journal of Hydrology*, 514, 114–122.
- [۶] Kisi, O., Shiri, J., & Tombul, M. (2013), "Modeling rain fall-runoff process using soft computing techniques", *Journal of Computers & Geosciences*, 51, 108-117.
- [۷] Roushangar, K., Akhgar, S., Salmasi, F., & Shiri, J. (2014), "Modeling energy dissipation over stepped spillways using machine learning approaches", *Journal of Hydrology*, 508, 254-265.
- [۸] Shiri, J., & Kisi, O. (2011), "Comparison of genetic programming with neuro-fuzzy systems for predicting short-term water table depth fluctuations", *Journal of Comput. Geosci*, 37(10), 1692–1701.
- [۹] Wang, W.C., Chau, K.W., Cheng, C.T., & Qiu, L. (2009), "A comparison of performance of several artificial intelligence methods for forecasting monthly discharge time series", *Journal of Hydrology*, 374(3), 294-306.
- [۱۰] Bremen, R. (1990). Expanding Stilling Basin. Laboratoire de Constructions Hydrauliques, Communication3, Lausanne, Switzerland.
- [۱۱] Gandhi, S. (2014), "Characteristics of Hydraulic Jump", *International Journal of Mathematical, Computational, Physical, Electrical and Computer Engineering*, 8(4), 692-697.
- [۱۲] Ferreria, C. (2001), "Gene expression programming: a new adaptive algorithm for solving problems", *Journal of Complex System*, 13(2), 87–129.
- [۱۳] Elevatorski, E.A. (1980). *Hydraulic Energy Dissipators*. McGraw-Hill, New York.
- [۱۴] Ranga Raju, K.G., Mittal, M.K., Verma, M.S., & Ganeshan, V.R. (1980), "Analysis of Flow over Baffle Blocks and End Sills", *Journal of Hydraulic Research*, 18(3), 227–241.
- [۱۵] Hager, W.H. (1992). *Energy Dissipators and Hydraulic Jumps*. Kluwer Academic Publication, Dordrecht, The Netherlands, pp. 151-173.

K. Roushangar*

Associate Professor,
Department of Civil
Engineering, University of
Tabriz.

e-mail: kroshangar@yahoo.com

R. Valizadeh

M.Sc. student, Department of
Civil Engineering, University of
Tabriz.

e-mail:
reayhneh_valizdh_rvacivil@yahoo.com

R. Ghasempour

M.Sc. student, Department of
Civil Engineering, University of
Tabriz.

e-mail:
r.ghasempour93@ms.tabrizu.ac.ir

Predicting of Hydraulic Jump Characteristics of Sudden Expanding Stilling Basins Using Evolutionary Algorithm

Sudden expanding stilling basins are one of the energy dissipaters which can dissipate most of the kinetic energy of the flow through hydraulic jump. Accurate estimation of the hydraulic jump characteristics plays an important role in designing of hydraulic structures. Present study applies Gene Expression Programming (GEP) to estimate hydraulic jump characteristics in three different types of sudden expanding channels (i.e. channel without appurtenances, with a central sill and with a negative step). In this regard, different models were developed and tested. The results proved capability of GEP in predicting hydraulic jump characteristics in expanding channels. It was observed that the applied method is more accurate than semi-theoretical relationships. Also it was found that in the jump length prediction the model with input parameters Fr_1 and $(h_2-h_1)/h_1$ and in the sequent depth ratio and relative energy dissipation prediction the model with input parameters Fr_1 and h_1/B led to more accurate outcome. Sensitivity analysis showed that Fr_1 had the key role in modeling. According to the results of the sensitivity analysis parameter Fr_1 had the key role in modeling hydraulic jump characteristics.

Keywords: Central sill, Expanding stilling basin, Gene Expression Programming, Hydraulic Jump, Negative step.

* Corresponding author